

SÉRIE DES CARTES GÉOPHYSIQUES
DIAGRAMME TERNNAIRE DES RADIOÉLÉMENTS

AIRBORNE GEOPHYSICAL SURVEY

A quantitative gamma-ray spectrometric airborne geophysical survey of Southern Alberta, near Wainwright, Alberta, was made by Fugro Airborne Surveys. The survey was from August 4 to September 20, 2010 using a Cessna 208B Caravan aircraft (C-GNCA) and a Cessna 404 Caravan aircraft (C-FYAU). The nominal traverse line spacing was 500 m, and the aircraft flew at a nominal terrain clearance of 150 m at an air speed between 200 and 270 km/h. Traverse lines were oriented 90°. The flight path was recovered following post-flight differential corrections to raw data recorded by a Global Positioning System.

Gamma-ray Spectrometric Data

The airborne gamma-ray measurements were made with Exploranium GR8200 gamma-ray spectrometers. Each detector system consisted of four 102 x 102, 406 mm NaI (TI) crystals. The main detector arrays consisted of twelve crystals (total volume 50.4 litres). Two crystals (total volume 8.4 litres), shielded by the main arrays, were used to detect variations in background radiation caused by atmospheric radar. The systems constantly monitored the natural thorium peak for each crystal, and used a Gaussian least square algorithm, adjusted the gain for each crystal.

Potassium is measured directly from the 1460 keV gamma-ray photons emitted by K^{40} , whereas uranium and thorium are measured indirectly from gamma-ray photons emitted by the decay products of U^{238} (Th^{232}) and Th^{230} for thorium. Among these isotopes, they are below their respective decay chains, they are assumed to be in equilibrium with their parents; thus gamma-ray spectrometric measurements of uranium and thorium are referred to as equivalent uranium and equivalent thorium, and the terms uranium and thorium are referred to as potassium, uranium and thorium are, respectively, 1370 - 1570 keV, 1660 - 1860 keV, and 2410 - 2810 keV.

Gamma-ray spectra were recorded at one-second intervals. During processing, the spectra were energy binned, and the counts were accumulated into the windows described above. Corrected data from the radar detectors were recorded in a 1000 - 1800 keV window and radiance was integrated over the 2000 keV window to provide a background subtraction. The window data were then corrected for spectral scattering in the ground, air and detectors. Corrections for deviations from the planned terrain clearance and for variation of temperature and pressure were made prior to conversion to ground concentrations of potassium, uranium and thorium, using factors determined from flights over the Breckenridge, Colorado calibration range. The factors for potassium, uranium and thorium were, respectively, 74.93 cpspm, 7.47 cpspm, and 4.26 cpspm for C-FYAU and 78.92 cpspm, 6.07 cpspm, and 5.32 cpspm for C-GNCA.

Corrected data were filtered and interpolated to a 500 m grid interval. The results of an airborne gamma-ray spectrometric survey represent the average surface concentrations of potassium, uranium and thorium in the top few centimetres of the soil surface. As the results of the surveys were computed from the measured concentrations of potassium, uranium and thorium, a more comprehensive description of airborne gamma-ray spectrometry surveys including technical specifications, instrumentation, calibration, data processing and interpretation is covered by Grasty et al., (1991), Grasty and Minty (1995), and the International Atomic Energy Agency (2003) and references therein.

LEVÉ GÉOPHYSIQUE AÉROPORTÉ

Un levé géophysique aéroporté de spectroscopie gamma a été réalisé dans le sud de l'Alberta, le sud de la Saskatchewan, et le centre-ouest du Manitoba pour déterminer les niveaux de radon dans le sol à une profondeur de 400 mm au-dessus du niveau de la surface. Le levé a été effectué avec un aéronef Cessna 208B Caravan (C-GNCA) et un Cessna 404 Caravan (C-FYAU). L'épaisseur nominale des lignes de vol était de 500 m, alors que l'altitude nominale de vol était de 150 m au-dessus du sol et que la vitesse était de 200 à 270 km/h. Les lignes de vol étaient orientées à 90°. La trajectoire de vol a été restituée par l'application après le vol de corrections différentes aux données brutes enregistrées avec un récepteur GPS.

Données de spectroscopie gamma

Les mesures du rayonnement gamma ont été effectuées respectivement à l'aide d'un spectroscopie gamma Exploranium GR8200 utilisant plusieurs cristaux de NaI (TI) de 102 x 102 x 406 mm. Le réseau de capteurs se compose de deux cristaux (volume total de 50.4 litres). Deux cristaux supplémentaires (volume total de 8.4 litres), protégés par le réseau principal, ont été utilisés pour déceler les variations du rayonnement naturel causées par le rayonnement atmosphérique. Le réseau de capteurs comprend également des filtres pour éliminer les interférences de l'air et des détecteurs de filtre. Les résultats sont alors corrigés pour faire un suivi continu des thèmes pour chaque des capteurs, et, au moyen d'un algorithme d'intégration, les résultats sont convertis en concentrations moyennes de potassium, d'uranium et de thorium dans les premiers centimètres de la surface.

Le potassium est mesuré directement d'après les photons gamma de 1460 keV émis par le K^{40} , tandis que l'uranium et le thorium sont mesurés indirectement d'après les photons gamma émis par des produits de filtration (U^{238} pour l'uranium et Th^{232} pour le thorium). Bien que ces radionucléides de filtre se trouvent loin dans leur chaîne respective de désintégration, on presume qu'ils sont en équilibre avec leur radionucléide père, ainsi, les mesures spectrométriques du rayonnement gamma de l'uranium et du thorium sont désignées comme des équivalents d'uranium et des équivalents de thorium, respectivement. Des facteurs sont utilisés pour mesurer le potassium, l'uranium et le thorium sont respectivement de 78.92 à 1370 keV, de 6.07 cpspm, et 5.32 cpspm pour C-GNCA et de 74.93 cpspm, 7.47 cpspm, et 4.26 cpspm pour C-FYAU.

Les spectres de rayonnement gamma ont été enregistrés pendant des intervalles d'une seconde. Pendant le traitement, les spectres ont été courbés à un échelon énergétique et les coups ont été cumulés dans des plages décrivées ci-dessous. Les coups obtenus à l'aide des capteurs de radon ont été enregistrés dans la plage de 102 x 102 x 406 mm. Les résultats à un levé aérien, des spectres ont été enregistrés dans la plage de 102 x 102 x 406 mm et le rayonnement d'énergies supérieures à 3 000 keV a été enregistré dans la plage du rayonnement cosmique, de la radioactivité de l'aéronaut et des produits de désintégration du radon atmosphérique. Les données pour les plages ont ensuite été corrigées pour tenir compte de la diffusion spectrale dans le sol, l'air et les capteurs. Les corrections pour les éclats à la hauteur de vol peuvent être appliquées pour éliminer les interférences de l'air et des détecteurs de filtre. Les résultats sont convertis en concentrations moyennes dans le substratum rocheux. Le débit naturel de la dose absorbée par l'air, en nanograds à l'heure, a été déterminé d'après les concentrations mesurées de potassium, d'uranium et de thorium. Une description plus complète de la spectroscopie gamma aéroportée, incluant les spécifications techniques, l'instrumentation, la calibration, le traitement et l'interprétation des données a été présentée par Grasty et coll., (1991) et Grasty et Minty (1995), et par l'Agence Internationale d'Energie Atomique (2003).

Un filtre a été appliqué aux deux types de capteurs, qui ont ensuite été interpolées suivant un grilleau de 500 m. Les résultats à un levé aérien, des spectres ont été enregistrés dans la plage de 102 x 102 x 406 mm et le rayonnement d'énergies supérieures à 3 000 keV a été enregistré dans la plage du rayonnement cosmique, de la radioactivité de l'aéronaut et des produits de désintégration du radon atmosphérique. Les données pour les plages ont ensuite été corrigées pour tenir compte de la diffusion spectrale dans le sol, l'air et les capteurs. Les corrections pour les éclats à la hauteur de vol peuvent être appliquées pour éliminer les interférences de l'air et des détecteurs de filtre. Les résultats sont convertis en concentrations moyennes dans le substratum rocheux. Le débit naturel de la dose absorbée par l'air, en nanograds à l'heure, a été déterminé d'après les concentrations mesurées de potassium, d'uranium et de thorium. Une description plus complète de la spectroscopie gamma aéroportée, incluant les spécifications techniques, l'instrumentation, la calibration, le traitement et l'interprétation des données a été présentée par Grasty et coll., (1991) et Grasty et Minty (1995), et par l'Agence Internationale d'Energie Atomique (2003).

Un filtre a été appliquée aux deux types de capteurs, qui ont ensuite été interpolées suivant un grilleau de 500 m. Les résultats à un levé aérien, des spectres ont été enregistrés dans la plage de 102 x 102 x 406 mm et le rayonnement d'énergies supérieures à 3 000 keV a été enregistré dans la plage du rayonnement cosmique, de la radioactivité de l'aéronaut et des produits de désintégration du radon atmosphérique. Les données pour les plages ont ensuite été corrigées pour tenir compte de la diffusion spectrale dans le sol, l'air et les capteurs. Les corrections pour les éclats à la hauteur de vol peuvent être appliquées pour éliminer les interférences de l'air et des détecteurs de filtre. Les résultats sont convertis en concentrations moyennes dans le substratum rocheux. Le débit naturel de la dose absorbée par l'air, en nanograds à l'heure, a été déterminé d'après les concentrations mesurées de potassium, d'uranium et de thorium. Une description plus complète de la spectroscopie gamma aéroportée, incluant les spécifications techniques, l'instrumentation, la calibration, le traitement et l'interprétation des données a été présentée par Grasty et coll., (1991) et Grasty et Minty (1995), et par l'Agence Internationale d'Energie Atomique (2003).

References/Références

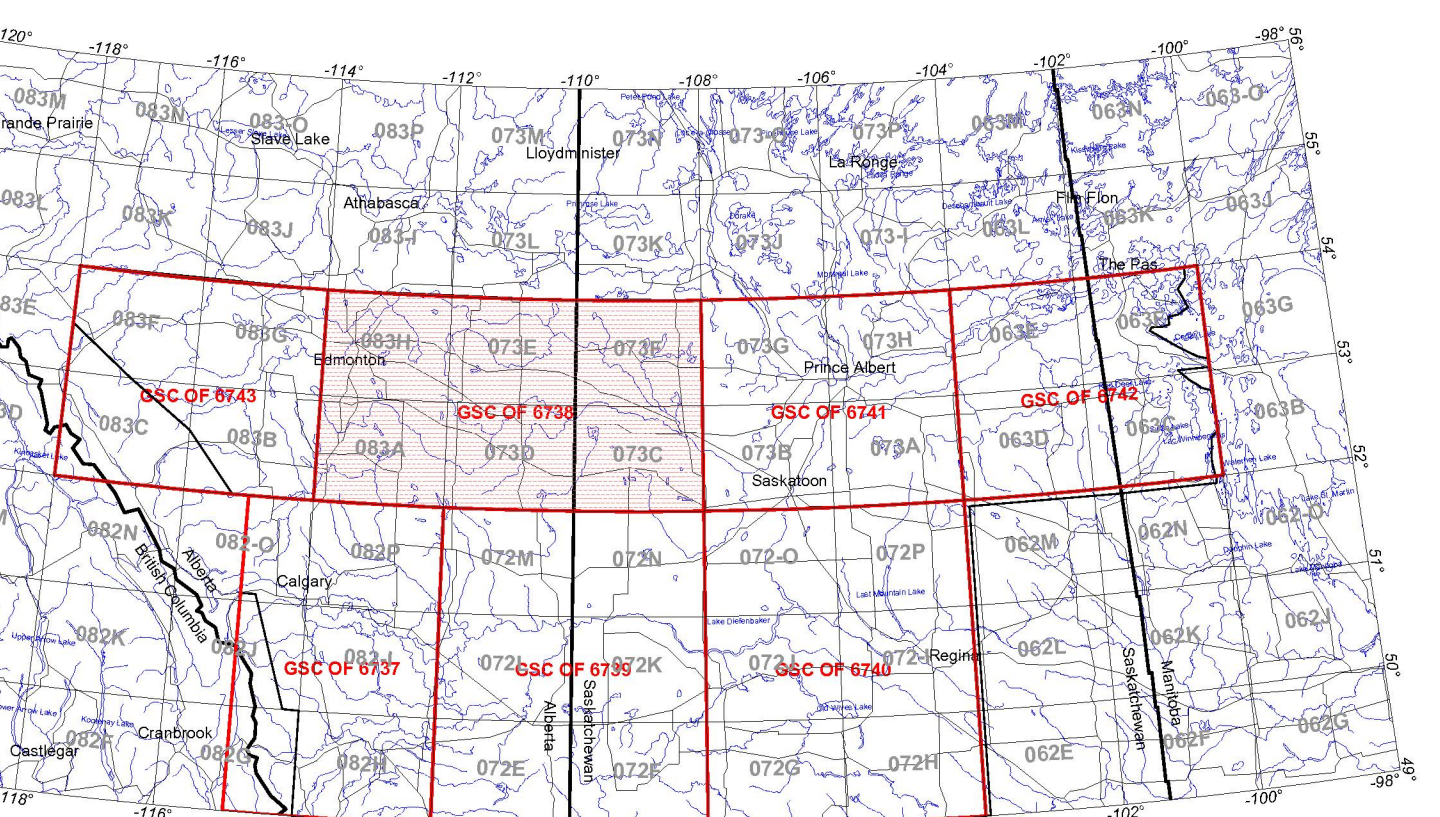
Grasty, R.L., Melander, H. and Parker, M. (1991) Airborne Gamma-ray spectrometer surveying: International Atomic Energy Agency, Technical Report Series 323, Vienna, 97 p.

Grasty, R.L. and Minty, B.R.S. (1995) A guide to the technical specifications for airborne gamma-ray surveys; Australian Geological Survey Organisation, Record 1995-60, 89 p.

International Atomic Energy Agency. 2003. Guidelines for radiodelement mapping using gamma ray spectrometry data. IAEA-TECDOC-1363, 173p.

PLANIMETRIC SYMBOLS / SYMBOLES PLANIMÉTRIQUES

Roads		Routes
Railway		Chemin de fer
Power Line		Ligne de transport d'énergie
Drainage		Drainage
Flight path		Ligne de Vol



AIRBORNE GEOPHYSICAL SURVEY, WAINWRIGHT, ALBERTA-SASKATCHEWAN

LEVÉ GÉOPHYSIQUE AÉROPORTÉ, WAINWRIGHT, ALBERTA-SASKATCHEWAN